

CONCURSO ITA 2025 EDITAL: 01/ITA/2025

CARGO: PROFESSOR

PERFIL: MS-36

CADERNO DE QUESTÕES

- 1. Esta prova tem duração de 4 (quatro) horas.
- 2. Você poderá usar **apenas** caneta esferográfica de corpo transparente com tinta preta, lápis ou lapiseira, borracha, régua transparente simples e compasso. **É proibido portar qualquer outro material escolar ou equipamento eletrônico.**
- 3. Você recebeu este **caderno de questões e um caderno de respostas** que deverão ser devolvidos ao final do exame.
- 4. O caderno de questões é composto por 4 (quatro) questões dissertativas.
- 5. As questões dissertativas devem ser respondidas exclusivamente no caderno de respostas. Responda sequencialmente as questões, usando caneta preta.
- 6. É obrigatória a devolução do caderno de questões e do caderno de respostas, sob pena de desclassificação do candidato.
- 7. Aguarde o aviso para iniciar a prova. Ao terminá-la, avise o fiscal e aguarde-o no seu lugar.

Questão 1 (30 Pontos)

No sistema eletromecânico ilustrado na Figura 1, são identificadas as seguintes variáveis físicas e parâmetros: θ_0 é o ângulo de saída; v_{in} é a tensão elétrica de entrada; v_a é a tensão elétrica na saída do amplificador linear ($v_a = K_a v_{in}$) de ganho K_a (sem constante de tempo significativa); i_a é a corrente elétrica no circuito de armadura (a) do motor e i_f corrente no seu circuito de campo (f), assumida constante; L_a é a indutância elétrica e R_a é a resistência elétrica do enrolamento da armadura; J é momento de inércia da carga e β é a constante de amortecimento viscoso do mancal com comportamento do tipo $T_{\beta} = \beta \dot{\theta}_0$, onde T_{β} é o torque resistivo; T é o torque do motor dado por $T = K_T i_a$, onde K_T é a constante de torque e K_v é a constante de força contra eletromotriz ($v = K_v \dot{\theta}_0$).

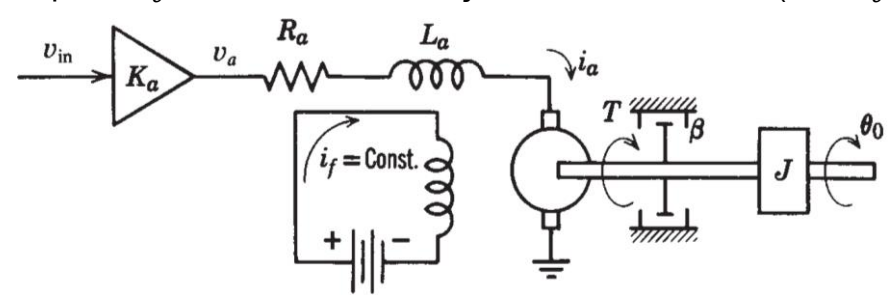


Figura 1: Esquema de sistema eletromecânico (Fonte: KARNOPP, D.; MARGOLIS, D.; ROSENBERG, R., System dynamics: modeling, simulation, and control of mechatronic systems, 5 ed, Wiley, 2012).

As equações diferenciais que governam a dinâmica desse sistema são as seguintes:

$$J\frac{d^{2}\theta_{o}}{dt^{2}} + \beta \frac{d\theta_{o}}{dt} = T, \operatorname{com} T = K_{T}i_{a} \tag{I}$$

$$L_{a}\frac{di_{a}}{dt} + R_{a}i_{a} = K_{a}v_{in} - K_{v}\frac{d\theta_{o}}{dt} \tag{II}$$

- (a) Encontre o grafo de ligação (*Bond Graph*) desse sistema detalhando os passos empregados. Em termos da convenção utilizada na teoria de grafos de ligação, esse sistema é de 3ª ou 2ª ordem? Justifique sua resposta.
- (b) Mostre como as equações (I)-(II) podem ser obtidas a partir do grafo obtido em (a).
- (c) Coloque as equações no formato de espaço de estados, $\dot{X} = AX + BU$ e Y = CX + DU, considerando o vetor de estados $X = \begin{bmatrix} \dot{\theta}_0 & i_a \end{bmatrix}^T$ e vetor de entrada $U = [v_{in}]$.
- (d) Supondo que o mancal possui comportamento não linear $(T_{\beta}=\beta\dot{\theta}_0^{\ 2})$ e utilizando uma expansão em Série de Taylor, sugira uma linearização para o modelo em torno de um ponto de equilíbrio $\dot{\theta}_0$. Qual a relação com as equações (I)-(II)?
- (e) Considerando a equação dinâmica do circuito do enrolamento de campo dada por $L_f \frac{di_f(t)}{dt} + R_f i_f(t) = V_f(t)$, com resistência elétrica R_f , indutância L_f e tensão elétrica da fonte $V_f(t)$, discretize utilizando o método de Euler e obtenha a equação a diferenças (regressivas) e aplique a transformada Z para obtenção de $H(z) = I_f(z)/V_f(z)$. Justifique sua resposta.

Questão 2 (20 Pontos)

Considere a Figura 2, em que a entrada x(t) de um sistema, descrito por sua resposta impulsiva h(t), produz a saída y(t).

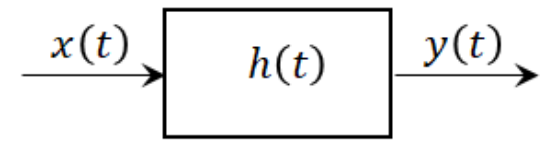


Figura 2: Sistema dinâmico em tempo contínuo.

Para esse sistema dinâmico a tempo contínuo, a resposta impulsiva (para um impulso aplicado no instante t = 0 com condições iniciais nulas) é dada por:

$$h(t) = \omega_n \sin(\omega_n t) u(t)$$

em que u(t) é a função degrau unitário: u(t) = 1, para $t \ge 0$ s, e 0, para t < 0 s.

Justifique, com o maior rigor e detalhamento possíveis:

- (a) A partir de h(t), determine H(s) e a função de resposta em frequência (FRF) $H(j\omega)$ e, em seguida, escreva a respectiva EDO de entrada-saída correspondente à dinâmica do sistema dado. Qual é a interpretação física usual de uma FRF?
- (b) Considere zero qualquer sinal de amplitude menor que 0,1. Suponha que o sistema seja excitado pelo sinal

$$x(t) = \sin(0.1 \cdot \omega_n t) + \sin(20 \cdot \omega_n t)$$

- e que sua resposta y(t), a saída do sistema, seja discretizada com frequência de amostragem $\omega_s(t)=25\omega_n$ (rad/s). Justifique, do ponto de vista prático, se ocorrerá o fenômeno de *aliasing* nesse processo de amostragem.
- (c) Suponha que esse sistema físico, conectado a uma placa de aquisição de dados, adquire amostras da resposta y(t) com período de amostragem T. Considere que a representação analógica (a tempo contínuo) do sinal amostrado, denotado por $y_s(t)$, seja dada por:

$$y_s(t) = y(t) \cdot p(t)$$

em que p(t) é o trem de impulsos dado por

$$p(t) = \sum_{n=-\infty}^{\infty} \delta(t - nT)$$

onde $\delta(t)$ denota a função delta de Dirac (impulso unitário). Assim, responda:

- (I) Sendo $Y_s(\omega)$ o espectro de $y_s(t)$ e $Y(\omega)$ o espectro de y(t), qual é a relação entre ambos os espectros?
- (II) Suponha que o espectro $Y_s(\omega)$ seja discretizado (o que de fato se verifica num sistema digital de aquisição e processamento de dados), o que ocorre com o respectivo sinal no domínio do tempo?
- (III) Associando aos itens (I) e (II) acima, discuta os efeitos de *aliasing* e de *leakage/*vazamento, indicando em quais etapas esses efeitos podem ocorrer.

Questão 3 (30 Pontos)

Considere a seguinte resposta temporal (Figura 3) obtida de um sistema linear invariante no tempo de 2^a ordem composto por massa-mola-amortecedor (m,k,c), governado pela equação diferencial $m\ddot{x}(t)+c\dot{x}(t)+kx(t)=F(t)$, que foi submetido a uma entrada do tipo degrau F(t)=1 N, com condições iniciais nulas $\dot{x}(0)=0$ m/s e x(0)=0 m.

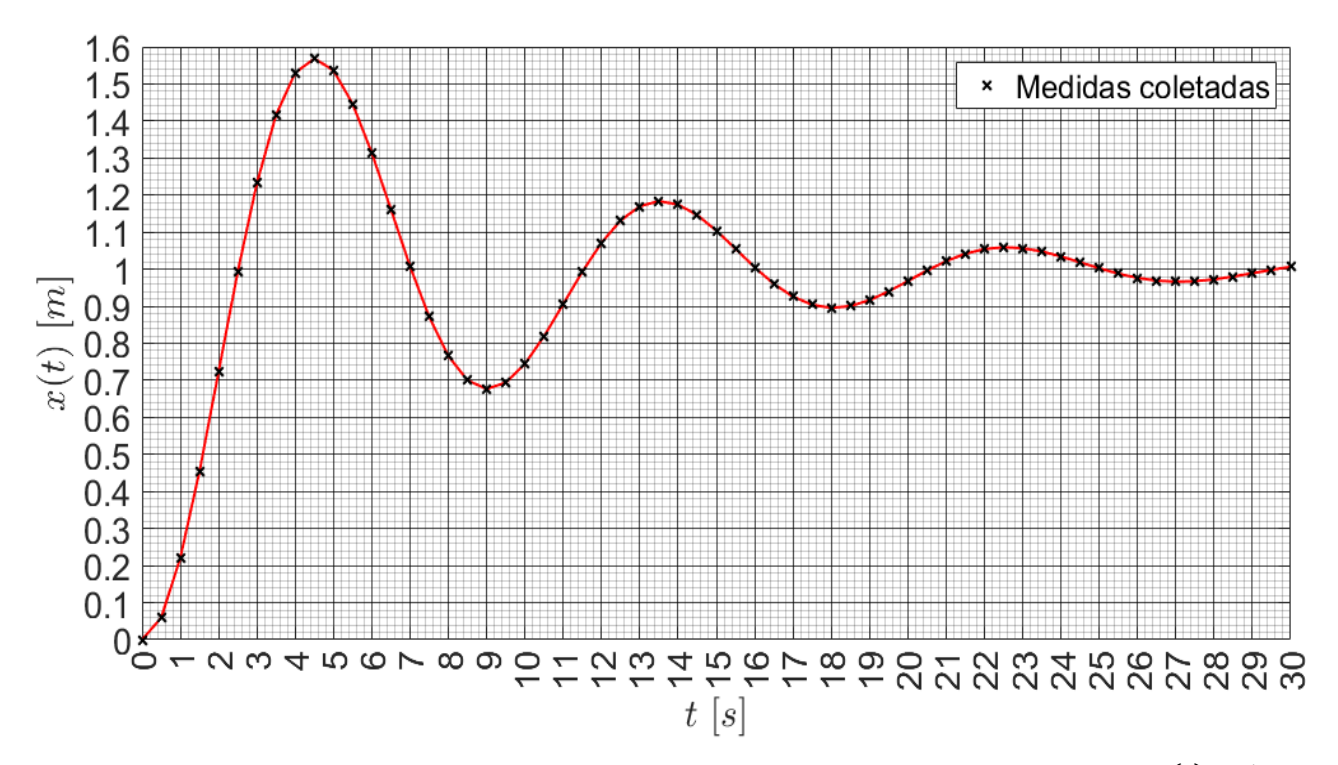


Figura 3: Resposta temporal de um sistema massa-mola-amortecedor a uma entrada degrau F(t) = 1 N.

- (a) Identifique o modelo encontrando os valores de seus parâmetros físicos (m, k, c), de acordo com os dados fornecidos pela curva do gráfico da Figura 3.
- (b) Levando em consideração o conjunto de dados de entrada-saída $z_n = \{F_n, x_n\}$, onde $F_n = F(nT)$, $x_n = x(nT)$, com T sendo o intervalo de amostragem e n = 0, 1, ..., N, em que N é o número total de amostras, explique o que poderia ser feito para realizar uma identificação não-paramétrica da resposta ao impulso desse sistema.

Nota: Aproximações de valores podem ser utilizadas para facilitar os cálculos.

Formulário para Questão 3.

Formulario para Questão 5.	
Parâmetro	Equação
Frequência natural amortecida (ω_d)	$\omega_d = \omega_n \sqrt{1 - \zeta^2}$
Tempo de pico (t_p)	$t_p = \frac{\pi}{\omega_d}$
Tempo de acomodação $(t_{\scriptscriptstyle S})$	$t_s = 3T$ (critério de 5%)
Constante de tempo da envoltória (T)	$T = \frac{1}{\zeta \omega_n}$
Fator de amortecimento (ζ)	$\zeta = c/(2\sqrt{km})$

Questão 4 (20 Pontos)

Almejando um certo de nível de abstração voltado à análise do comportamento lógico de um sistema de desacoplamento dos dois estágios de um foguete, o formalismo de modelagem por autômatos finitos foi empregado para representar, em uma estrutura de transições de estados, o processo investigado. Conforme indicado abaixo, foram obtidos: o autômato G_1 , para representar o processo de desacoplamento do Estágio 1; e o autômato G_2 para representar o processo de desacoplamento do Estágio 2.

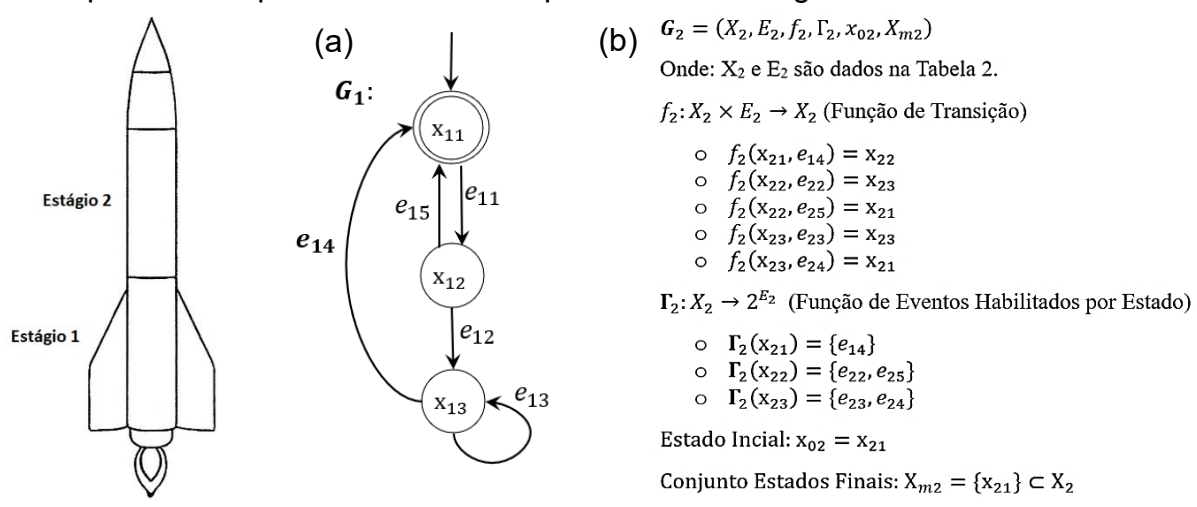


Figura 4: (a) modelo (gráfico) do autômato G_1 - Estágio 1; (b) modelo (formal) do autômato G_2 - Estágio 2.

Tabela 1. Elementos do Modelo G₁.

Autômato ${\it G}_1$	
Conjunto de Eventos E ₁	Conjunto de Estados X ₁ (x _{1x})
e ₁₁ = armar 1	x ₁₁ = Pré-Ignição 1 (Idle)
e 12 = ignição 1	x ₁₂ = Armado 1
e ₁₃ = operar 1	$x_{13} = Ativo 1$
e ₁₄ = confirmar 1	-
e 15 = abortar 1	-

Tabela 2. Elementos do modelo \mathbf{G}_2 .

Autômato ${\it G}_2$	
Conjunto de Eventos E ₂	Conjunto de Estados X ₂ (X _{2x})
e ₁₄ = confirmar 1	x ₂₁ = Pré-Ignição 2 (Idle)
e 22 = ignição 2	x ₂₂ = Armado 2
e ₂₃ = operar 2	$x_{23} = Ativo 2$
e ₂₄ = confirmar 2	-
e 25 = abortar 2	-

- (a) Proponha uma representação gráfica do autômato G_2 . Em algumas literaturas, a linguagem marcada por um autômato representa o subconjunto de cadeias de eventos sequenciais (também chamadas de "palavras") que, ao serem apresentadas para o autômato, permitem que ele parta do seu *estado inicial* e alcance um *estado final* $x \in X_m$. Identifique, para o autômato G_2 , pelo menos uma cadeia de eventos desse tipo que possua mais do que dois eventos sequenciais.
- (b) Proponha uma estrutura de Rede de Petri Marcada que represente a dinâmica de G1, definindo uma marcação adequada que reproduza o seu estado inicial. Sugira uma simulação dessa Rede de Petri considerando o disparo de duas transições consecutivas a partir do estado inicial: indique as transições habilitadas e o vetor de estados x (o vetor que contém o número de tokens em cada lugar após cada transição) resultante após cada disparo. Descreva as considerações empregadas na sua análise.





















